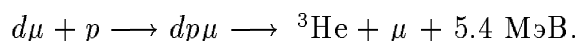


## ИССЛЕДОВАНИЕ МЮОННОГО КАТАЛИЗА *dd*- И *dt*-СИНТЕЗА

А.А.Воробьев, Е.М.Маев, Г.Г.Семенчук

### Введение

Впервые на возможность образования мезомолекул типа  $dd\mu$  и  $pd\mu$  с последующим слиянием находящихся в этих молекулах ядер указали А.Д.Сахаров (1946 г.) и Ф.Франк (1947 г.). Освободившийся после слияния ядер мюон может образовать новую молекулу, играя, таким образом, роль катализатора ядерного синтеза. Впоследствии Я.Б.Зельдович развил теорию этого процесса в естественном, как тогда казалось, варианте нерезонансного образования мезомолекул. Л.Альварец был первым, кому удалось в 1956 году экспериментально наблюдать реакцию мезокатализа ядерного синтеза по каналу



Это открытие вызвало огромный интерес в мире. Обсуждалась возможность получения нового источника энергии. Вскоре, однако, выяснилось, что скорости образования молекул  $pd\mu$  и  $dd\mu$  столь малы, что ни о каком практическом применении этого процесса не могло быть и речи. Столь же малой ожидалась и скорость образования  $dt\mu$  молекул, наиболее перспективного процесса с точки зрения получения энергии. Более того, Д.Джексоном (1957 г.) и С.С.Герштейном (1960 г.) было указано на наличие принципиального предела в числе возможных циклов, катализированных одним мюоном. Этот предел связан с возможным прилипанием мюона к образующимся в процессе синтеза ядрам гелия. По оценкам авторов, вероятность такого процесса должна быть около 1%, что соответствовало предельному числу синтезов на уровне 100. Однако и этот предел представлялся недостижимым, поскольку наблюдаемая низкая скорость реакций соответствовала примерно одному циклу синтеза за время жизни мюона. В результате интерес к мезокатализу постепенно угасал.

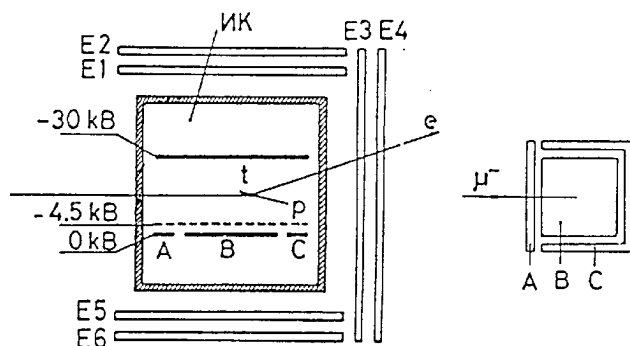
Между тем, в Дубне группой В.П.Джелепова в 1964 г. было обнаружено интересное явление. Измеренная при  $T = 300 \text{ К}$  скорость  $\lambda_{dd\mu}$  оказалась на порядок выше известной ранее скорости  $\lambda_{dd\mu}$  в жидком дейтерии, что находилось в противоречии с ожидаемой независимостью  $\lambda_{dd\mu}$  от температуры. Возможное объяснение было дано Э.А.Весманом (1967 г.), предположившим, что существует слабосвязанный уровень в  $dd\mu$ -молекуле и за счет резонансной передачи освободившейся энергии мезомолекулярному комплексу  $[(dd\mu, d)2e]$  увеличивается скорость образования этой молекулы. Теория резонансного образования мезомолекул была развита затем в работах группы Л.И.Пономарева. Точными расчетами было не только подтверждено наличие слабосвязанного уровня в  $dd\mu$ -молекуле ( $\varepsilon_{11} = -1.9 \text{ эВ}$ ), но и предсказан аналогичный уровень в  $dt\mu$ -молекуле ( $\varepsilon_{11} = -0.6 \text{ эВ}$ ), что должно было привести к исключительно высокой скорости образования  $dt\mu$ -молекулы. В 1979 году это предсказание было экспериментально подтверждено группой В.П.Джелепова в Дубне, показавшей, что  $\lambda_{dt\mu} > 10^8 \text{ с}^{-1}$ . С этого момента интерес к мезокатализу резко возрос. Эксперименты были развернуты в США (LAMPF), Швейцарии (PSI), Гатчине (ПИЯФ), Канаде (TRIUMF), Японии (КЕК). В то же время теоретики продолжали работать над уточнением теории мезокатализа. Были также начаты расчеты возможных схем использования мезокатализа в качестве интенсивного источника 14-МэВ нейтронов и даже в ка-

честве источника энергии. В результате этих усилий сегодня достигнут высокий уровень понимания процесса мезокатализа ядерного синтеза.

Важным вкладом в общий прогресс явились эксперименты, выполненные группой ПИЯФ на синхроциклотроне ПИЯФ и позднее на швейцарской мезонной фабрике (PSI). Успех этих экспериментов связан с разработкой нового метода, позволившего регистрировать заряженные продукты синтеза. В данной статье дано краткое изложение полученных группой ПИЯФ результатов.

## Экспериментальный метод

До наших экспериментов основным методом исследования мезокатализа ядерного синтеза был метод регистрации образующихся в реакциях синтеза нейтронов. Этот метод оказался весьма эффективным, но вместе с тем он имеет ряд ограничений: не регистрируются каналы реакций синтеза, в которых в конечном состоянии не образуются нейтроны; не выделяются каналы реакций с прилипанием мюона к гелию; имеются сложности в измерениях абсолютной скорости реакций.

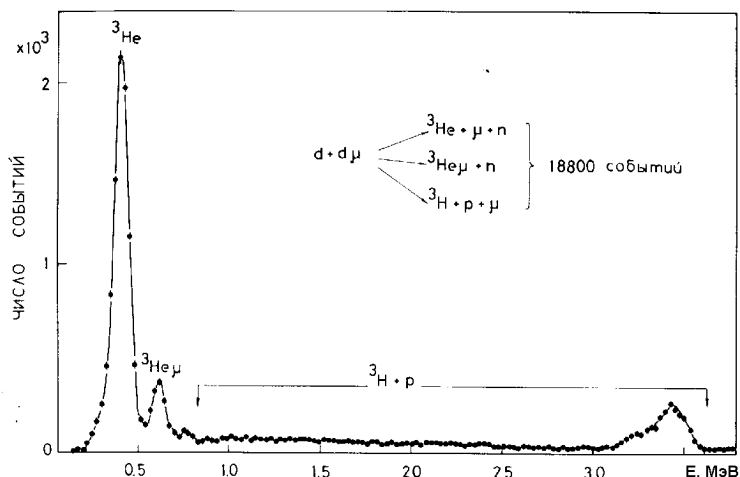


**Рис.1.** Схема первой ионизационной камеры для исследования  $d-\mu-d$ -синтеза (Гатчина, 1980 г.). Расстояние катод-сетка – 10 мм, расстояние сетка-анод – 1 мм, размер анода В –  $35 \times 35 \text{ мм}^2$ , давление ( $D_2$ ) – 90 атм.

Основой разработанного нами метода [1] является использование наполненной водородом (дейтерием) ионизационной камеры в качестве "чувствительной мишени" (рис.1). Камера позволяет регистрировать входящие мюоны и заряженные продукты ядерного синтеза, катализированного этими мюонами. Анализ сигналов от входящих мюонов позволяет отобрать мюоны, остановившиеся в центральной части чувствительного объема камеры, исключив таким образом влияние стенок на эффективность регистрации продуктов синтеза. В результате обеспечивается стопроцентная эффективность регистрации образующихся в реакциях синтеза заряженных частиц.

Особенностью данного метода является использование высокого (до 200 атм.) давления водорода в камере. Первоначально не было ясно, можно ли при таком давлении вообще наблюдать сигналы вследствие возможной потери электронов ионизации в результате рекомбинации с ионами в треке. К счастью, однако, оказалось, что, хотя рекомбинация и растет с увеличением давления, но этот рост достаточно медленный и, кроме того, рекомбинация оказалась мало зависящей от ориентации трека относительно электрического поля. В результате рекомбинация лишь смещает наблюдаемые пики в сторону меньших энергий без ухудшения энергетического разрешения. Так что можно вполне успешно проводить измерения в присутствии эффекта рекомбинации. Более того, этот эффект оказался даже полезным. Он дает возможность непосредственно измерить вероятность прилипания мюона к гелию, "раздвигая" пики, относящиеся к  $(\text{He})^{++}$  и  $(\text{He } \mu)^+$  (без рекомбинации эти пики сливаются).

В качестве примера на рис.2 приведен амплитудный спектр продуктов  $dd$ -синтеза, измеренный в одном из наших первых экспериментов [2].



**Рис.2.** Амплитудное распределение событий  $dd$ -синтеза, зарегистрированных ионизационной камерой. Параметры камеры приведены на рис.1. Видно разделение пиков  $(^3\text{He})^{++}$  и  $(^3\text{He}\mu)^+$  вследствие эффекта рекомбинации. Пик  $^3\text{H}$  должен быть при амплитуде 0.9 МэВ. Суммарная амплитуда сигналов  $^3\text{H}+p$  распределена от 0.9 МэВ до 3.6 МэВ, поскольку пробег протонов не всегда укладывается в чувствительном объеме камеры. Уровень шума  $\sigma = 30$  кэВ, порог регистрации – 130 кэВ, эффективность регистрации – 99%. Вклад фоновых событий – 0.1%.

Высокая эффективность регистрации позволяет регистрировать два и более событий синтеза, катализированных одним мюоном. С этим связан широко используемый нами метод "выжившего мюона", когда отбираются события, о которых известно, что мюон после синтеза не исчез. Этот метод оказался наиболее точным при абсолютном измерении скорости реакции (точность 1 – 3%), а также при измерении коэффициента прилипания мюона.

В последующих экспериментах было использовано несколько модификаций ионизационной камеры, отличающихся, в основном, геометрией и числом анодов. Особый интерес представляло прецизионное измерение температурной зависимости  $d-\mu-d$ -синтеза. С этой целью был разработан вариант камеры с гелиевым охлаждением [3], позволяющий работать в диапазоне температур (30 – 300) К, при этом в любой точке температура могла быть застabilизирована и измерена с точностью  $\pm 0.3$  К. В экспериментах, выполненных в PSI, ионизационная камера была окружена годоскопом нейтронных счетчиков, что еще более расширило возможности метода, улучшив, в частности, условия регистрации событий синтеза, происходящих непосредственно (в пределах 200 нс) вслед за остановкой мюона в камере.

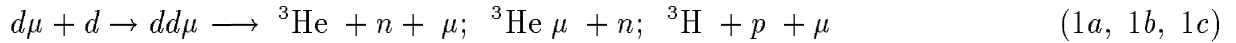
Метод ионизационной камеры оказался вне конкуренции при исследовании  $d-\mu-d$ -синтеза. В случае же исследования  $d-\mu-t$ -синтеза осложнения возникают из-за ионизации газа электронами от  $\beta$ -распада вводимого в камеру трития. Для ослабления тритиевого фона анод камеры был разбит на 19 отдельных анодов, каждый диаметром 3 мм. Пробег альфа-частицы из  $dt$ -синтеза при давлении 100 атм. составляет 1 мм, поэтому ионизационный заряд, образованный альфа-частицей, в большинстве случаев полностью собирается

на одном из анодов. Такая конструкция камеры позволила исследовать  $d-\mu-t$ -синтез в D/T смесях с содержанием трития до 3%.

## Исследование $d-\mu-d$ -синтеза

Изучение  $d-\mu-d$ -синтеза в среде, состоящей из  $D_2$ -молекул, дает уникальную возможность количественного сравнения с теорией мезокатализа. Именно в этом процессе наиболее ярко проявляется резонансный механизм образования мезомолекулы, к тому же не усложненный побочными процессами, такими, например, как неполная термализация  $d\mu$ -атомов.

В  $d-\mu-d$ -синтезе могут реализоваться следующие каналы реакции:



Эта совокупность реакций описывается тремя основными параметрами: скоростью образования  $dd\mu$ -молекулы  $\lambda_{dd\mu}$ , вероятностью прилипания мюона к гелию  $\omega_{dd} = Y(1b)/(Y(1a) + Y(1b))$ , отношением выходов изотопически симметричных каналов  $R = (Y(1a) + Y(1b))/Y(1c)$ . Уже в наших первых экспериментах (Гатчина, 1980–1983 гг.) удалось измерить все три параметра [4]:

$$\lambda_{dd\mu} = (2.76 \pm 0.08) \cdot 10^6 \text{ c}^{-1}, \quad R = Y({}^3\text{He} + n)/Y({}^3\text{H} + p) = 1.39 \pm 0.04, \quad \omega_{dd} = (0.122 \pm 0.003).$$

Здесь величина  $\lambda_{dd\mu}$  приведена к плотности дейтронов в жидком водороде. Измерения были выполнены при давлении дейтерия  $P = 90$  атм и температуре  $T = 300$  К. До этого измерялась лишь одна величина —  $\lambda_{dd\mu}$ . В следующем цикле измерений (Гатчина, 1987 г.) наша группа исследовала температурную зависимость  $d-\mu-d$ -синтеза в диапазоне (50 – 300) К. Наконец, недавно был завершен совместный эксперимент в PSI, в котором было выполнено наиболее детальное и прецизионное исследование процесса  $d-\mu-d$ -синтеза в диапазоне температур (28 – 350) К. Данные этого эксперимента обработаны еще не полностью.

## Скорость образования $dd\mu$ -молекулы

На рис.3 показана ситуация в измерении величины  $\lambda_{dd\mu}$  к моменту опубликования наших первых результатов в 1983 году. Полной неожиданностью было резкое, в 4 раза, отличие

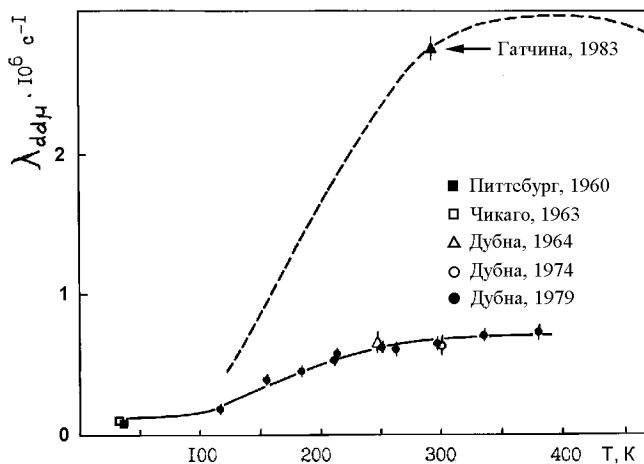
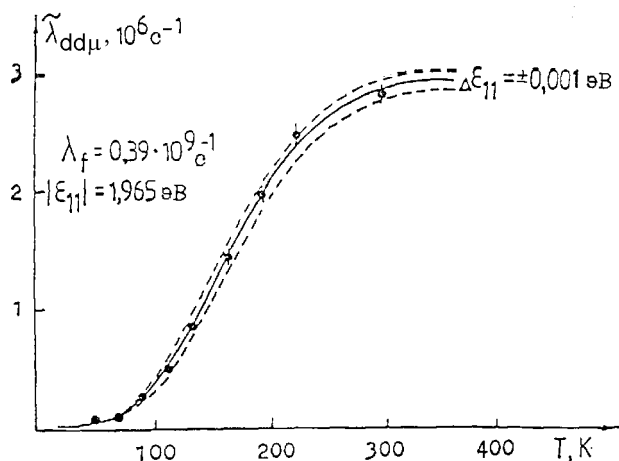


Рис.3. Результаты измерения скорости образования  $dd\mu$ -молекул в дейтерии, ситуация 1983 года. Все данные приведены к плотности дейтронов в жидком водороде. Измерения "Дубна-1979" — относительные, нормированы на данные "Дубна-1964" и "Дубна-1974". Пунктир — результат нормировки данных "Дубна-1979" на результат наших измерений.

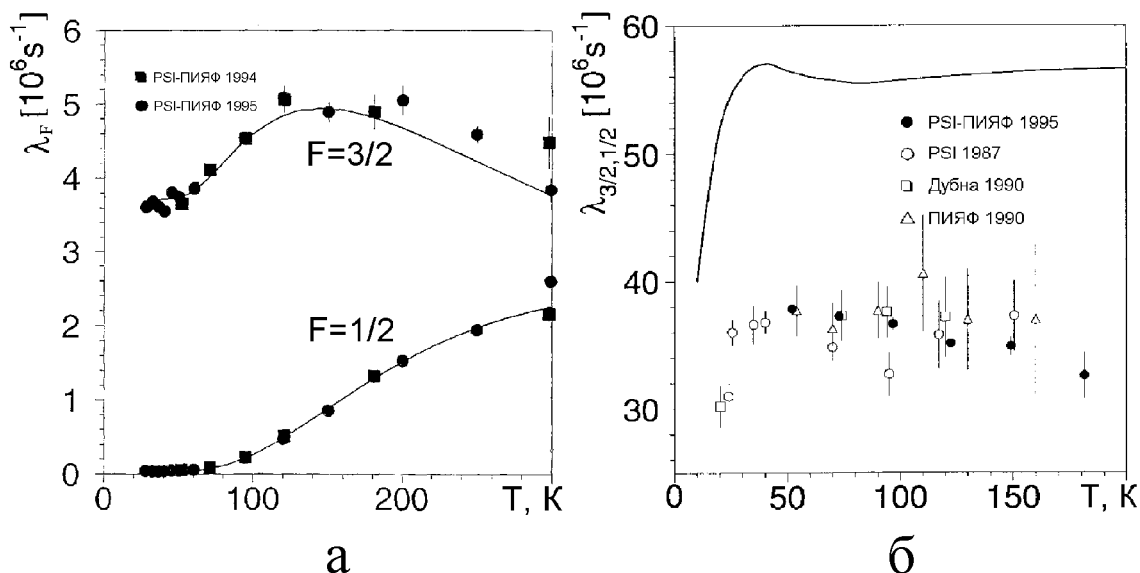
полученного нами значения  $\lambda_{dd\mu}$  от данных, полученных в Дубне. Такое отличие заставило нас повторить измерения в различных условиях. В частности, мы показали, что приведенная к плотности жидкого водорода величина  $\lambda_{dd\mu}$  не зависит от давления в интервале от 51 до 93 атм. Таким образом, наблюдаемое различие нельзя было объяснить несколько меньшим давлением в экспериментах в Дубне. Видимо, там была неверно определена эффективность нейтронных детекторов. Позднее наш результат был подтвержден экспериментами в LAMPF, в PSI, а также новыми измерениями в Дубне.

Точное измерение  $\lambda_{dd\mu}$  явилось существенным этапом в исследовании мезокатализа: с этого момента стало возможным количественное сравнение теории и эксперимента. В этом отношении особо информативными являются измерения температурной зависимости  $\lambda_{dd\mu}(T)$  с точной фиксацией температуры ( $\pm 0.3$  К). Такие измерения были выполнены нами в 1987 году [5]. На рис.4 наши данные сравниваются с расчетной зависимостью  $\lambda_{dd\mu}(T)$ , полученной группой Л.И.Пономарева. В расчете использовано огромное число матричных элементов, описывающих переходы в мезомолекулярном комплексе. Но в конечном итоге результат расчета чувствительным образом зависит от двух параметров: от энергии наименее связанного уровня  $\epsilon_{11}$  и от вероятности слияния дейтронов в  $dd\mu$ -молекуле  $\lambda_f$ . Из рис.4 видно, что расчетная зависимость  $\lambda_{dd\mu}(T)$  согласуется с экспериментальной при  $\epsilon_{11} = (-1.965 \pm 0.001)$  эВ, что находится в прекрасном согласии с современным расчетным значением  $(\epsilon_{11})_{расч} = -1.9653$  эВ.



**Рис.4.** Резонансная зависимость скорости  $dd\mu$ -катализа от температуры. Точки — результат нашего эксперимента (Гатчина, 1987–1990 гг.). Кривая соответствует значению уровня  $|\epsilon_{11}| = 1.965$  эВ и скорости  $dd$ -синтеза  $\lambda_f = 0.39 \cdot 10^9$  с $^{-1}$ . Указан коридор ошибки  $\Delta\epsilon_{11} = \pm 0.001$  эВ.

В момент образования  $d\mu$ -атома он может находиться в двух спиновых состояниях,  $F = 3/2$  и  $F = 1/2$ . Скорости образования  $dd\mu$ -молекул из этих состояний,  $\lambda_{3/2}$  и  $\lambda_{1/2}$ , различны. С вероятностью  $\lambda_{3/2,1/2}$  состояние  $F = 3/2$  переходит в состояние  $F = 1/2$ , и наступает термодинамическое равновесие. До сих пор мы обсуждали скорость образования  $dd\mu$  молекул в равновесном состоянии. В эксперименте в PSI ионизационная камера работала в совпадении с нейтронным детектором, что дало возможность регистрировать события  $dd$ -синтеза, начиная непосредственно с момента остановки мюона. Отличие от предыдущих экспериментов с нейтронными детекторами состояло в меньшем уровне фона и возможности калибровки эффективности нейтронного детектора с точностью  $\pm 1\%$  (по сравнению с  $\pm 10\%$  в предыдущих экспериментах). В результате получены прецизионные данные о  $\lambda_{3/2}(T)$ ,  $\lambda_{1/2}(T)$  и  $\lambda_{3/2,1/2}(T)$ , представленные на рис.5а и 5б.



**Рис.5.** Температурные зависимости: а) скорости образования  $dd\mu$ -молекулы в дейтерии из двух спиновых состояний  $d\mu$ -атома; б) скорости переворота спина в  $d\mu$ -атоме. Сплошные линии – результаты теоретических расчетов.

Детальный теоретический анализ еще предстоит сделать после завершения обработки наших данных. Здесь мы только отметим серьезное расхождение между расчетными и экспериментальными данными по вероятности перехода  $\lambda_{3/2,1/2}$ .

### Вероятность прилипания мюона к гелию

Рис.6 иллюстрирует процедуру измерения вероятности прилипания  $\omega_{dd}$ . Полученное нами значение  $\omega_{dd} = 0.122 \pm 0.003$  до сих пор остается единственным результатом прямого измерения этой величины и используется для контроля точности теоретических расчетов.

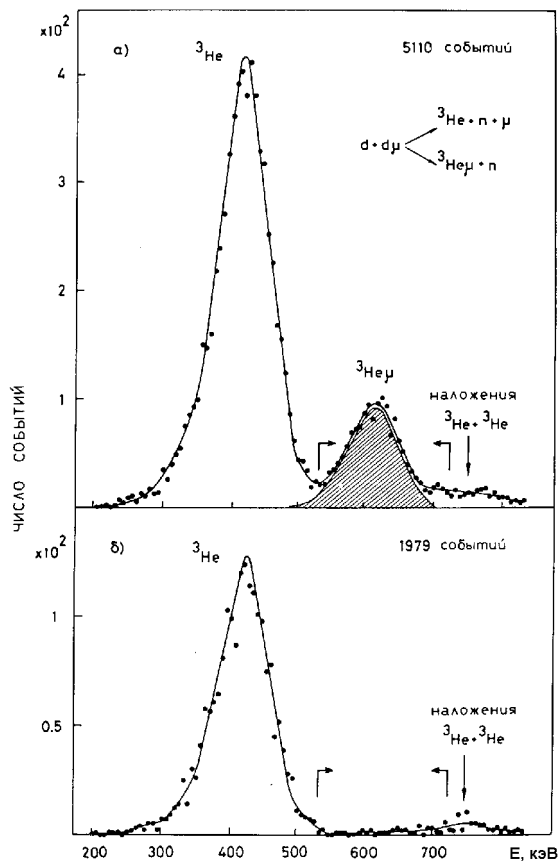
Существовавшее до опубликования нашего результата расчетное значение вероятности прилипания было несколько выше:  $\omega_{dd}^{pac\check{c}} = 0.147$ . Это расхождение мотивировало группу Л.И.Пономарева выполнить новые расчеты. Попытка учесть возбужденные состояния атома  ${}^3\text{He}\mu$  только усилила расхождение:  $\omega_{dd}^{pac\check{c}} = 0.165$ . После этого расчет был повторен с использованием более точных волновых функций  $dd\mu$ -молекулы. Полученный результат  $\omega_{dd}^{pac\check{c}} = 0.122$  оказался в точном согласии с экспериментом. Аналогичная ревизия метода расчета коэффициента прилипания мюона в  $d-\mu-t$ -синтезе дала  $\omega_{dt}^{pac\check{c}} = 0.0059$  (вместо существовавшего до этого значения  $\omega_{dt}^{pac\check{c}} = 0.009$ ). Новое значение  $\omega_{dt}^{pac\check{c}}$  соответствует предельному числу синтезов на один мюон, равному 170.

### Нарушение изотопической симметрии в $d-\mu-d$ -синтезе

Обнаруженное нами различие в выходах изотопически симметричных каналов:

$$R = Y({}^3\text{He} + n)/Y({}^3\text{H} + p) = 1.39 \pm 0.03$$

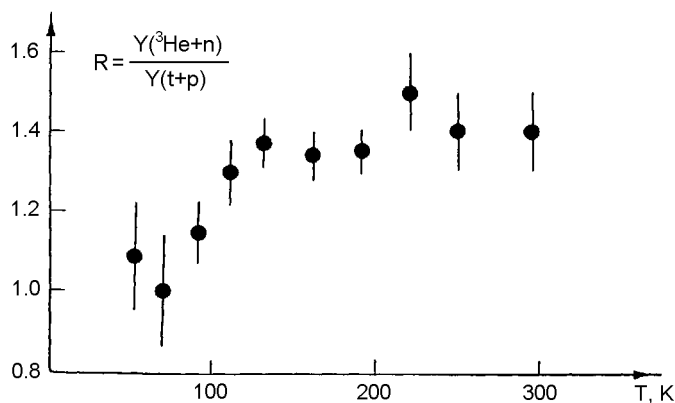
пока не имеет общепринятого теоретического объяснения. Интересно, что этот результат коррелирует с выводами фазового анализа  $dd$ -рассеяния в области энергий от 30 до



**Рис.6.** Прямой способ определения коэффициента прилипания мюонов  $\omega_{dd}$ .

а) Спектр всех первых событий  $dd$ -синтеза.  
 б) Спектр первых событий при условии, что за ними следуют еще события синтеза. События с прилипанием ( ${}^3\text{He}\mu$ ) при этом отсутствуют (Гатчина, 1981 г.).

400 кэВ. Там аналогичная асимметрия наблюдалась в  $P$ -волне, в то время как в  $S$ -волне величина  $R \sim 1$ . В случае наблюдаемого нами при  $T = 300$  К резонансного образования  $dd\mu$ -молекулы,  $dd$ -синтез идет как раз в чистом  $P$ -состоянии. Напротив, при нерезонансном образовании  $dd\mu$ -молекулы  $dd$ -синтез должен идти из  $S$ -состояния. Поэтому можно было ожидать, что с уменьшением температуры, по мере перехода от резонансного к нерезонансному механизму образования  $dd\mu$ -молекулы, отношение  $R$  будет стремиться к единице. Именно такую картину мы увидели в нашем эксперименте (рис.7). Данное наблюдение



**Рис.7.** Температурная зависимость отношения интенсивностей изотопически симметричных каналов  $dd$ -синтеза (Гатчина, 1987–1990 гг.).

нашло практическое применение: по величине  $R$  можно определить относительные вклады резонансного и нерезонансного каналов.

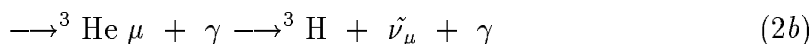
## Измерение параметров $d-\mu-d$ - и $p-\mu-d$ -синтеза в HD-смесях

Это направление исследований предполагает детальное изучение процесса  $d-\mu-d$ -синтеза в среде из HD-молекул [6]. В данном случае доминирующим является нерезонансный механизм образования  $dd\mu$ -молекулы, что открывает возможность исследования этого механизма. Особый интерес представляет измерение скорости переворота спина  $\lambda_{3/2,1/2}$  в отсутствие процесса резонансного образования  $dd\mu$ -молекул и выявление роли "обратного распада"  $dd\mu$ -молекулы. Постановка эксперимента потребовала решения двух технических проблем. Во-первых, нужно было приготовить смесь с минимальным содержанием  $D_2$ . Во-вторых, нужно было создать условия в ионизационной камере, замедляющие переход смеси в равновесное состояние. Первая задача была успешно решена нашими химиками, разработавшими метод получения HD с содержанием  $D_2$  на уровне менее 2%. Решение второй задачи было достигнуто исключением из конструктивных материалов никеля, катализирующего процесс установления равновесия в смеси H/D. Первые измерения со смесью HD +  $D_2(2\%)$  были выполнены в PSI в начале 1996 года при  $T = 300$  К, 150 К и 50 К. Предварительный результат при 300 К:

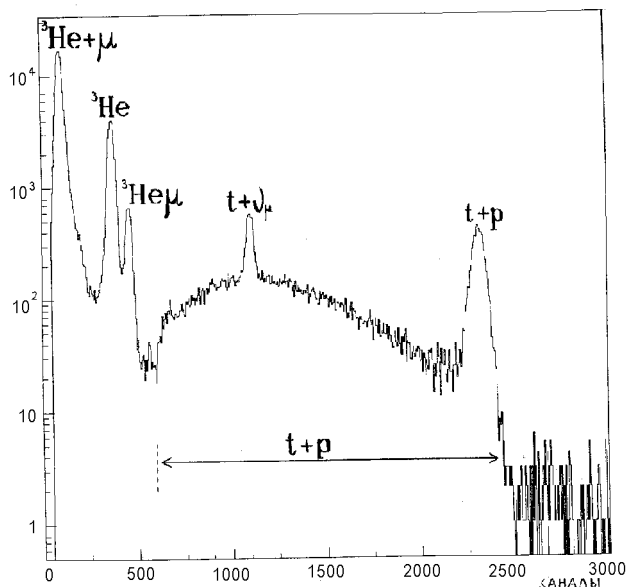
$$\lambda_{dd\mu-HD} = (0.115 \pm 0.004) \cdot 10^6 \text{ c}^{-1} (T = 300 \text{ К}), \lambda_{3/2,1/2} = (28 \pm 5) \cdot 10^6 \text{ c}^{-1} (T = 50 \text{ К}).$$

Полученное значение  $\lambda_{3/2,1/2}$  значительно ниже измеренного в среде  $D_2$ -молекул, что указывает на существенный вклад "обратного распада"  $dd\mu$ -молекул в этой среде.

Исключительно низкое значение  $\lambda_{dd\mu-HD}$  позволяет использовать HD-наполнение в тех случаях, когда необходимо подавить фон от  $d-\mu-d$ -синтеза. В частности, это открывает возможность исследования  $p-\mu-d$ -синтеза на качественно новом уровне, путем измерения абсолютных выходов двух каналов реакции:



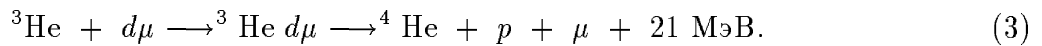
Измеренный амплитудный спектр показан на рис.8. Анализ данных позволит определить



**Рис.8.** Амплитудное распределение продуктов  $p-\mu-d$  и  $d-\mu-d$ -синтеза в ионизационной камере с HD-наполнением (PSI-ПИЯФ, 1996 г.). Канал с конверсией мюонов  ${}^3\text{He} + \mu$  впервые зарегистрирован в ионизационной камере. События  $t + \nu_\mu$  — продукты  $\mu$ -захвата по каналу  ${}^3\text{He}\mu + \gamma$ . События  ${}^3\text{He}$  ( ${}^3\text{He} \mu$ ) и  $t + p$  — продукты  $dd$ -синтеза.

зависимость  $\lambda_{pd\mu}$  от температуры, от состава H/D смеси, а также измерить скорость ядерного синтеза в  $pd\mu$ -молекулах для различных спиновых состояний  $\lambda_f^{3/2}$  и  $\lambda_f^{1/2}$ .

Другим примером использования HD-наполнения является поиск  $d-\mu-^3\text{He}$ -синтеза, идущего через образование  $d^3\text{He}$ -молекулы:



В наших первых измерениях в Гатчине был установлен верхний предел [7]:

$$\lambda_f(d^3\text{He}) \leq 4 \cdot 10^8 \text{ с}^{-1}.$$

В сеансе 1996 года в PSI получены данные, позволяющие понизить этот предел на два порядка. Данные обрабатываются.

## Перехват мюонов на гелий

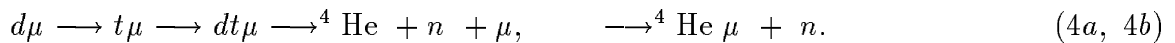
Нами впервые была измерена скорость перехвата мюона из основного состояния  $d\mu$ -атомов на ядра  $^3\text{He}$  и  $^4\text{He}$ . Метод измерения состоял в наблюдении изменения выхода  $d-\mu-d$ -синтеза при добавлении к  $\text{D}_2$  контролируемого количества (2 – 5%) гелия. Были получены следующие результаты [8]:

$$\lambda_{d^3\text{He}} = (1.27 \pm 0.10) \cdot 10^8 \text{ с}^{-1}, \quad \lambda_{d^4\text{He}} = (3.68 \pm 0.18) \cdot 10^8 \text{ с}^{-1}.$$

Эти результаты подтвердили сформулированную в 1981 г. Н.П.Поповым гипотезу о существовании нового механизма перехвата мюонов на ядра гелия через образование  $d\text{He}\mu$ -молекулы. В этом случае скорость перехвата возрастает приблизительно в 100 раз по сравнению с прямым перехватом. Практическим следствием данного наблюдения является необходимость регулярной переочистки D/T-смеси от накапливаемого в процессе  $dt$ -синтеза гелия в будущем мезокаталитическом реакторе.

## Исследование $d-\mu-t$ -синтеза

Исследование  $d-\mu-t$ -синтеза представляет особый интерес, поскольку эта реакция рассматривается как потенциальный источник нейтронов и энергии. Основной задачей наших первых экспериментов со смесью D/T (Гатчина, 1987 г.) было освоение методики работы с ионизационной камерой в условиях тритиевого фона. Была разработана специальная многоанодная камера и создано технологическое оборудование для работы с тритием. Камера была наполнена смесью  $\text{D}_2$  и  $\text{T}_2$  (~ 1%) при давлении 90 атм. В этой смеси реакция  $dt$ -синтеза идет в следующей последовательности:



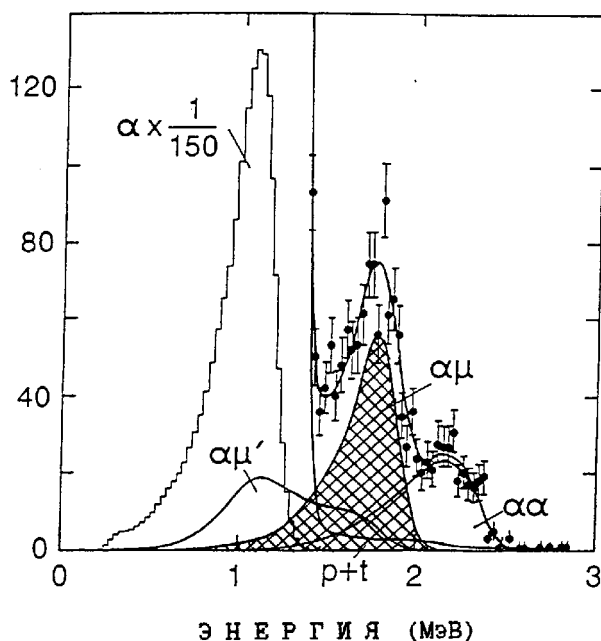
Эксперимент проводился при комнатной температуре. Была измерена скорость перехода мюона из основного состояния  $d\mu$ -атома на  $t\mu$ -атом [9]:  $\lambda_{dt} = (2.8 \pm 0.2) \cdot 10^8 \text{ с}^{-1}$ . Измеренная величина оказалась в согласии с теорией и с результатами предыдущих измерений.

После образования  $t\mu$ -атома процесс образования  $dt\mu$ -молекулы в данной D/T смеси происходит настолько быстро, что величину  $\lambda_{dt\mu}$  было трудно измерить. Поэтому в следующих экспериментах дейтерий был "разбавлен" водородом:  $\text{H}_2(78\%) + \text{D}_2(20\%) + \text{T}_2(2\%)$ .

Эта смесь была переведена в равновесное состояние с тем, чтобы дейтрон находился, в основном, в составе HD-молекул ( $D_2 - 5.8\%$ ,  $HD - 32.8\%$ ). Тройная H/D/T смесь оказалась очень удобной для наших целей. Не уменьшая числа мюонных остановок и выхода  $d-\mu-t$ -синтеза, она позволила изменить временное распределение событий таким образом, что стало возможным измерение скоростей образования  $dt\mu$ -молекул в  $D_2$  и HD комплексах. В результате было получено [9]:

$$\lambda_{dt\mu-D_2} = (2.1 \pm 0.6) \cdot 10^8 \text{ с}^{-1}, \quad \lambda_{dt\mu-HD} = (1.3 \pm 0.3) \cdot 10^8 \text{ с}^{-1}.$$

Кроме того, в тройной смеси, особенно в равновесной фазе, резко снижается уровень фона от  $d - \mu - d$ -синтеза, что было важно при решении нашей основной задачи – прямого измерения вероятности  $\omega_{dt}$  прилипания мюона к  ${}^4\text{He}$ .

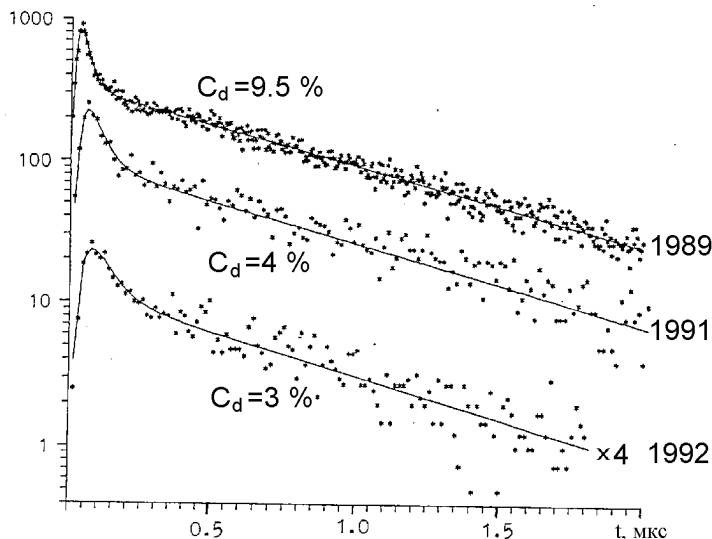


**Рис.9.** Амплитудный спектр событий  $dt$ -синтеза, зарегистрированных ионизационной камерой. Заштрихована область событий с прилипанием  $\alpha\mu$ . События  $(\alpha\mu)'$  происходят от стряхивания мюонов при торможении в газе, события  $(\alpha\alpha)$  – результат наложения последующих синтезов (PSI–ПИЯФ, 1988–1992 гг.).

Эксперимент по измерению  $\omega_{dt}$  был выполнен в PSI в период с 1988 г. по 1992 г. [10]. В принципе, метод измерения был тот же, что и для измерения  $\omega_{dd}$  – использование эффекта рекомбинации для разделения пиков  $({}^4\text{He})^{++}$  и  $({}^4\text{He}\mu)^+$ . Однако в данном случае предстояло измерить очень малую величину  $\omega_{dt}$ , к тому же в присутствии тритиевого фона и фона от канала  $t + p$  в  $d-\mu-d$ -синтезе. С целью уменьшения последнего была выбрана тройная смесь H/D/T в равновесной фазе:  $C_t = 0.05\%$ ,  $C_d = 9\%$  и  $C_p = 91\%$ . Кроме того, для подавления  $t + p$ -канала использовалось совпадение сигналов с камеры и с нейтронных счетчиков. Малая концентрация трития позволила добиться хорошего энергетического разрешения,  $\sigma = 80$  кэВ. Относительно низкий выход событий  $dt$ -синтеза на мюон ( $\sim 2\%$ ) был компенсирован высокой интенсивностью остановок мюонов ( $\sim 1000 \text{ с}^{-1}$ ) в чувствительном объеме камеры ( $3 \text{ см}^3$ ) благодаря уникальным возможностям мюонного канала PSI. В результате было зарегистрировано более  $5 \cdot 10^6$  событий  $dt$ -синтеза. При этом удалось выделить события  ${}^4\text{He}\mu$  с прилипанием мюонов (рис.9) и определить вероятность прилипания [11]:  $\omega_{dt} = (0.56 \pm 0.04)\%$ . Это значение учитывает стряхивание мюонов при торможении  $({}^4\text{He}\mu)^+$  в газе. Полученное значение является результатом первого и пока единственного прямого измерения величины  $\omega_{dt}$ . Это значение неплохо согласуется с

результатом последних вычислений. Ему соответствует верхний предел выхода нейтронов на один мюон  $Y_n = 180$ .

Еще одним важным результатом эксперимента явилось обнаружение эпитермального канала образования  $dt\mu$ -молекул, обусловленного взаимодействием "горячих"  $t\mu$ -атомов с HD-молекулами. В эксперименте этот факт проявляется в наличии пика в начале временного распределения нейтронов из  $dt$ -синтеза (рис.10). Анализ этих распределений



**Рис.10.** Временное распределение нейтронов  $dt$ -синтеза в тройной смеси H/D/T. Виден быстрый пик за счет образования  $dt\mu$ -молекул (PSI-ПИЯФ, 1989–1992 гг.).

показал, что скорость эпитермального образования  $dt$ -молекул исключительно высока [12]:

$$\lambda_{dt\mu-HD}^{эпитерм} = (2.5 \pm 0.6) \cdot 10^9 \text{ с}^{-1}.$$

Этот результат соответствует теоретическим расчетам, предсказывающим наличие мощного резонанса в зависимости  $\lambda_{dt\mu-HD}$  от энергии  $t\mu$ -атомов в области энергий  $\sim 1$  эВ. Другим фактором, способствующим проявлению эпитермального образования  $dt\mu$ -молекул, является эффект Рамзауэра в  $t\mu$ -H-столкновениях, приводящий к замедлению процесса термализации  $t\mu$ -атомов в тройной H/D/T-смеси. Заметим, что в D/T-смеси этот эффект отсутствует.

Данное наблюдение открывает новые возможности для практического применения  $d-\mu-t$ -синтеза, например, в проекте создания интенсивного нейтронного источника.

## Заключение

Приведенные в данной статье результаты исследований мезокатализа реакций ядерного синтеза составляют сегодня основную базу данных, используемых для сравнения с теорией. Они иллюстрируют эффективность разработанного в ПИЯФ экспериментального метода, а также важность объединения усилий и возможностей различных лабораторий мира.

Следующий коллектив авторов – сотрудников ПИЯФ – участвовал на различных этапах создания экспериментальных установок и проведения исследований:

*Д.В.Балин, В.Н.Батулин, А.А.Васильев, А.А.Воробьев, Ан.А.Воробьев, Н.И.Воропаев, Б.Л.Горшков, Ю.С.Григорьев, В.С.Дубоград, А.И.Ильин, С.М.Козлов, Л.Н.Кудин, Е.М.Маев, А.А.Марков, В.И.Медведев, В.В.Нелюбин, Е.М.Орицин, Г.Е.Петров, Л.Б.Петров, В.И.Поромов, Г.Г.Семенчук, Ю.В.Смиренин, Г.Л.Соколов, В.В.Сулимов, Н.А.Тимофеев, В.А.Трофимов, Ю.А.Честнов.*

Состав участников совместных экспериментов в PSI (MCF-collaboration):

*C.Petitjean, Th.Petitjean, K.Lou, P.Ackerbauer, W.H.Breunlich, M.Fuchs, S.Fussy, M.Jeitler, P.Kammel, B.Lauss, J.Marton, W.Prymas, J.Werner, J.Zmeskal, H.Bossy, T.Case, K.M.Crowe, D.V.Balin, V.N.Baturin, Yu.S.Grigoriev, A.I.Ilyin, E.M.Maev, G.E.Petrov, G.G.Semenchuk, Yu.V.Smirenin, A.A.Vorobyov, N.I.Voropaev, P.Baumann, H.Daniel, T.von Egidy, F.J.Hartmann, P.Hofmann, R.Huber, W.Schott, R.Lipowsky, P.Wojciechowski, V.E.Markushin, J.Deutsch, J.Govaerts, R.Prieels, G.A.Beer.*

## Список литературы

- [1] *Коллектив авторов ПИЯФ.* Препринт ЛИЯФ-715, Л., 1981. 17с.
- [2] *Коллектив авторов ПИЯФ.* Препринт ЛИЯФ-964, Л., 1984. 54с.
- [3] *Коллектив авторов ПИЯФ.* Препринт ЛИЯФ-1630, Гатчина, 1990. 24с.
- [4] *Коллектив авторов ПИЯФ.* // *Muon Cat. Fusion*, 1990. V.5/6. P.173.
- [5] *Коллектив авторов ПИЯФ.* // *Muon Cat. Fusion*, 1990. V.5/6. P.163.
- [6] *MCF Collaboration.* // "New project for investigation of unsolved problems of  $dd\mu$  and  $pd\mu$  catalysis in  $D_2$  and H/D mixtures", to be published in Proc. Symp. "Muon Catalyzed Fusion-95", Dubna, 1995.
- [7] *Коллектив авторов ПИЯФ и W.Czaplinski, M.Filipowicz, A.Gula, E.Gula.* // *Muon Cat. Fusion*, 1992. V.7. P.301.
- [8] *Коллектив авторов ПИЯФ.* // Письма в ЖЭТФ, 1985. Т.42. С.236.
- [9] *Коллектив авторов ПИЯФ.* // *Muon Cat. Fusion*, 1988. V.2. P.163.
- [10] *Коллектив авторов ПИЯФ.* // *Muon Cat. Fusion*, 1990. V.5/6. P.481.
- [11] *MCF Collaboration.* // *Muon Cat. Fusion*, 1990. V.5/6. P.26.
- [12] *Коллектив авторов ПИЯФ.* // Proc. Int. Workshop LEMS-93, Santa-Fe, USA, 1993.